

Registration Report

Project CH13_NA



Cluster Scans



Recording Period 7/27/2013, 5:32:38 PM - 7/31/2013, 6:46:26 PM



Location



Report Date 12/11/2017, 10:52:29 AM



Color Coding

Point Error  < 8 mm  > 20 mm

Overlap  > 25.0 %  < 10.0 %

Distance Error  < 20 mm  > 40 mm

Horizontal Error  < 20 mm  > 40 mm

Vertical Error  < 20 mm  > 40 mm

Angular Error  < 0.5 deg  > 1.0 deg

Overview

Scan Point Statistics

Maximum Point Error	14.2 mm
Mean Point Error	4.1 mm
Minimum Overlap	23.3 %

Target Statistics

Max. Distance Error	25.8 mm
Mean Distance Error	10.2 mm
Max. Horizontal Error	25.8 mm
Mean Horizontal Error	9.8 mm
Max. Vertical Error	7.9 mm
Mean Vertical Error	1.7 mm
Max. Angular Error	-
Mean Angular Error	-

Scan Errors

Scan Point Statistics

Cluster/Scan	Connections	Max. Point Error [mm]	Mean Point Error [mm]	Min. Overlap
NS13000	28	7.6	3.9	60.4 %
NS13001	28	8.6	4.0	52.9 %
NS13002	29	13.2	6.1	49.1 %
NS13003	29	14.2	7.8	47.9 %
NS13004	30	6.8	3.4	50.2 %
NS13005	32	10.5	4.0	28.3 %
NS13006	33	7.6	4.0	28.9 %
NS13007	36	11.6	5.2	42.8 %
NS13008	28	13.7	7.2	30.1 %
NS13009	39	8.1	3.4	50.0 %
NS13010	35	10.5	3.8	57.1 %
NS13011	34	12.5	4.9	30.6 %
NS13012	30	13.7	6.0	35.8 %
NS13013	27	14.2	6.8	46.1 %
NS13014	27	7.7	3.7	23.3 %
NS13015	32	9.5	4.2	34.1 %
NS13016	39	10.5	4.2	47.2 %
NS13017	39	9.7	3.6	56.7 %
NS13018	40	9.4	3.4	53.0 %
NS13019	39	10.1	3.6	56.8 %
NS13020	39	10.9	3.8	51.6 %
NS13021	40	9.0	3.5	42.5 %
NS13022	37	12.2	3.6	23.3 %
NS13023	40	8.3	3.3	50.8 %
NS13024	40	8.9	3.5	47.3 %
NS13025	39	8.5	4.4	57.4 %
NS13026	36	6.8	3.7	41.2 %
NS13028	26	7.2	3.6	44.0 %
NS13029	36	7.1	3.3	32.0 %
NS13030	40	8.2	3.4	41.1 %
NS13031	40	9.3	3.5	44.6 %
NS13032	32	8.8	4.3	28.3 %

NS13033	30	9.0	4.2	28.9 %
NS13034	26	5.1	3.4	33.1 %
NS13035	20	6.2	3.5	31.0 %
NS13036	29	8.8	5.7	49.1 %
NS13037	28	5.6	2.9	30.6 %
NS13038	30	5.8	3.0	32.2 %
NS13039	32	6.0	2.9	38.8 %
NS13040	25	6.1	2.9	51.6 %
NS13041	33	7.0	3.5	31.7 %

Target Statistics

Cluster/Scan	Connections	Max. Dist. [mm]	Mean Dist. [mm]	Max. Hor. [mm]	Mean Hor. [mm]	Max. Vert. [mm]	Mean Vert. [mm]	Max. Angle [deg]	Mean Angle [deg]
NS13000	7	17.1	9.6	16.5	9.5	5.5	1.2	-	-
NS13007	9	19.0	10.4	18.9	10.2	4.0	1.5	-	-
NS13008	9	20.5	10.9	20.4	10.4	6.6	2.1	-	-
NS13002	10	17.1	8.5	17.0	8.3	3.7	1.2	-	-
NS13003	10	19.0	8.5	18.9	8.1	6.5	1.6	-	-
NS13004	12	21.0	10.3	21.0	9.9	5.8	1.9	-	-
NS13001	7	23.1	9.4	22.2	9.3	6.1	1.2	-	-
NS13014	12	23.1	9.6	22.2	8.7	7.8	3.1	-	-
NS13006	10	12.9	7.6	12.6	6.7	6.5	2.6	-	-
NS13005	10	20.2	8.3	19.9	7.4	7.9	2.8	-	-
NS13012	10	23.5	9.0	23.1	8.3	5.4	2.7	-	-
NS13010	12	16.6	11.0	16.2	10.7	3.9	2.0	-	-
NS13011	7	22.7	8.3	22.4	7.6	5.4	2.4	-	-
NS13013	8	25.8	9.7	25.8	8.5	7.9	2.7	-	-
NS13015	12	23.5	14.2	23.1	13.9	5.4	2.6	-	-
NS13026	8	20.5	10.2	20.4	10.0	3.7	1.4	-	-
NS13024	12	21.0	13.5	21.0	13.3	6.6	1.4	-	-
NS13009	11	20.1	10.9	20.1	10.7	5.3	1.5	-	-
NS13020	8	17.4	7.5	17.3	7.2	3.4	1.3	-	-
NS13017	9	15.7	7.2	15.7	7.0	2.5	1.0	-	-
NS13018	9	17.8	8.6	17.7	8.5	3.3	1.1	-	-
NS13019	9	17.5	7.9	17.5	7.6	3.6	1.5	-	-
NS13023	14	20.1	12.9	20.1	12.7	4.8	1.4	-	-
NS13034	6	15.4	12.4	15.4	12.3	3.2	1.1	-	-
NS13035	5	18.0	13.7	18.0	13.6	1.9	0.7	-	-

NS13036	8	16.5	11.1	16.5	11.0	2.9	1.0	-	-
NS13037	9	19.5	11.9	19.5	11.8	2.9	0.8	-	-
NS13038	14	18.1	9.7	18.0	9.6	4.2	1.0	-	-
NS13040	14	18.8	10.4	18.6	10.3	3.5	1.1	-	-
NS13033	2	15.4	12.0	15.4	11.9	3.2	1.3	-	-
NS13029	11	17.6	12.9	17.6	12.8	2.1	0.7	-	-
NS13025	8	17.3	11.3	17.3	11.1	3.7	1.0	-	-
NS13028	9	19.5	12.4	19.5	12.3	2.0	0.8	-	-
NS13039	12	16.4	9.4	16.4	9.2	5.1	1.3	-	-
NS13030	13	17.7	12.5	17.7	12.4	3.4	0.9	-	-
NS13041	9	19.2	11.1	19.1	11.0	4.1	1.1	-	-
NS13021	10	18.3	10.1	18.0	9.6	6.5	2.1	-	-
NS13031	9	18.5	11.0	18.3	10.2	6.1	2.7	-	-
NS13022	9	19.2	10.9	19.1	9.9	6.1	3.5	-	-
NS13032	8	17.4	10.0	17.3	9.2	6.5	3.2	-	-
NS13016	7	25.8	9.8	25.8	9.3	3.4	2.4	-	-

Detailed Errors

Scan Point Statistics

Cluster/Scan 1	Cluster/Scan 2	Point Error [mm]	Overlap
NS13000	NS13001	1.6	94.8 %
NS13000	NS13004	2.0	79.7 %
NS13000	NS13005	2.6	87.2 %
NS13000	NS13012	5.4	66.7 %
NS13000	NS13009	2.7	74.6 %
NS13000	NS13010	3.7	70.4 %
NS13000	NS13020	4.1	74.0 %
NS13000	NS13024	3.1	68.4 %
NS13000	NS13021	4.1	68.3 %
NS13000	NS13016	4.5	64.6 %
NS13000	NS13025	4.2	68.2 %
NS13000	NS13002	3.9	87.6 %
NS13000	NS13003	5.7	73.0 %
NS13000	NS13008	6.2	77.5 %
NS13000	NS13013	7.6	68.9 %
NS13001	NS13010	4.0	69.3 %
NS13001	NS13008	5.0	83.8 %
NS13002	NS13001	3.1	93.3 %
NS13002	NS13008	3.2	77.7 %
NS13002	NS13005	7.4	49.7 %
NS13002	NS13004	4.9	90.4 %
NS13002	NS13009	5.8	84.0 %
NS13002	NS13024	4.4	78.4 %
NS13002	NS13025	3.6	67.4 %
NS13002	NS13010	8.1	73.5 %
NS13002	NS13016	7.6	66.7 %
NS13002	NS13013	13.2	49.4 %
NS13003	NS13001	4.3	78.7 %
NS13003	NS13002	2.4	89.5 %
NS13003	NS13008	2.0	92.7 %
NS13003	NS13004	6.0	70.8 %
NS13003	NS13005	10.1	69.4 %
NS13003	NS13009	8.1	63.5 %

NS13003	NS13024	5.6	62.1 %
NS13003	NS13025	4.4	57.4 %
NS13003	NS13012	13.3	68.1 %
NS13003	NS13010	10.5	57.1 %
NS13003	NS13020	10.9	61.1 %
NS13003	NS13016	10.5	53.7 %
NS13003	NS13013	14.2	52.2 %
NS13004	NS13001	2.1	81.0 %
NS13004	NS13010	3.4	83.5 %
NS13004	NS13008	5.6	93.2 %
NS13004	NS13013	6.8	76.5 %
NS13005	NS13001	3.2	52.9 %
NS13005	NS13004	2.5	61.2 %
NS13005	NS13010	2.5	57.8 %
NS13005	NS13008	10.5	43.9 %
NS13005	NS13013	4.7	58.7 %
NS13006	NS13000	1.9	89.9 %
NS13006	NS13001	2.3	83.3 %
NS13006	NS13002	5.3	52.6 %
NS13006	NS13003	7.1	62.6 %
NS13006	NS13004	2.2	60.1 %
NS13006	NS13005	2.0	69.9 %
NS13006	NS13012	4.7	79.7 %
NS13006	NS13009	2.6	85.6 %
NS13006	NS13019	2.7	79.0 %
NS13006	NS13017	2.6	78.5 %
NS13006	NS13010	3.5	85.2 %
NS13006	NS13020	3.6	76.2 %
NS13006	NS13018	3.2	76.0 %
NS13006	NS13022	2.7	39.3 %
NS13006	NS13023	2.9	75.5 %
NS13006	NS13024	3.1	75.7 %
NS13006	NS13016	4.7	76.3 %
NS13006	NS13021	3.4	69.6 %
NS13006	NS13030	3.4	69.6 %
NS13006	NS13025	4.3	66.2 %
NS13006	NS13039	4.5	67.3 %
NS13006	NS13041	5.6	64.0 %
NS13006	NS13029	4.1	62.3 %
NS13006	NS13026	3.2	48.1 %

NS13006	NS13033	7.1	28.9 %
NS13006	NS13015	5.0	50.8 %
NS13006	NS13032	7.6	35.0 %
NS13006	NS13007	3.9	54.7 %
NS13006	NS13008	6.7	47.5 %
NS13006	NS13014	2.2	58.3 %
NS13006	NS13013	6.3	59.9 %
NS13007	NS13000	4.1	78.2 %
NS13007	NS13001	3.7	81.4 %
NS13007	NS13002	3.0	63.3 %
NS13007	NS13003	2.4	75.3 %
NS13007	NS13004	3.5	94.1 %
NS13007	NS13005	6.7	43.1 %
NS13007	NS13008	2.5	91.9 %
NS13007	NS13024	2.8	94.7 %
NS13007	NS13025	2.5	86.8 %
NS13007	NS13009	4.3	90.6 %
NS13007	NS13017	4.9	81.6 %
NS13007	NS13021	5.0	77.8 %
NS13007	NS13020	6.4	75.5 %
NS13007	NS13010	6.2	81.0 %
NS13007	NS13029	3.8	79.3 %
NS13007	NS13016	7.2	78.6 %
NS13007	NS13012	8.8	52.8 %
NS13007	NS13037	5.4	72.8 %
NS13007	NS13041	7.0	70.6 %
NS13007	NS13033	9.0	57.8 %
NS13007	NS13015	8.9	70.6 %
NS13007	NS13013	11.6	59.9 %
NS13009	NS13001	2.9	74.6 %
NS13009	NS13004	2.0	93.2 %
NS13009	NS13005	2.4	63.6 %
NS13009	NS13008	6.3	86.7 %
NS13009	NS13010	2.1	90.6 %
NS13009	NS13025	4.1	74.8 %
NS13009	NS13013	6.1	82.6 %
NS13010	NS13008	8.9	73.5 %
NS13011	NS13000	4.5	85.2 %
NS13011	NS13001	5.1	80.6 %
NS13011	NS13002	9.5	55.2 %

NS13011	NS13003	12.5	66.9 %
NS13011	NS13004	4.5	64.4 %
NS13011	NS13005	2.5	78.7 %
NS13011	NS13006	3.3	82.2 %
NS13011	NS13007	7.5	53.5 %
NS13011	NS13008	11.5	49.7 %
NS13011	NS13009	3.7	86.6 %
NS13011	NS13010	2.8	86.5 %
NS13011	NS13012	2.0	88.4 %
NS13011	NS13019	3.4	79.9 %
NS13011	NS13017	3.6	79.3 %
NS13011	NS13020	2.9	76.3 %
NS13011	NS13016	3.5	75.0 %
NS13011	NS13018	3.7	57.2 %
NS13011	NS13022	3.5	41.2 %
NS13011	NS13021	4.5	46.3 %
NS13011	NS13023	4.5	55.0 %
NS13011	NS13024	5.5	52.6 %
NS13011	NS13030	5.3	45.6 %
NS13011	NS13025	7.6	68.0 %
NS13011	NS13041	4.1	34.4 %
NS13011	NS13029	5.3	35.3 %
NS13011	NS13039	4.7	41.8 %
NS13011	NS13026	6.4	45.8 %
NS13011	NS13038	5.0	35.0 %
NS13011	NS13037	5.6	30.6 %
NS13011	NS13015	2.4	59.2 %
NS13011	NS13032	4.6	34.0 %
NS13011	NS13014	3.9	62.0 %
NS13011	NS13013	2.7	68.5 %
NS13012	NS13001	6.8	62.1 %
NS13012	NS13002	11.3	55.4 %
NS13012	NS13004	5.9	63.3 %
NS13012	NS13005	3.1	84.3 %
NS13012	NS13008	13.7	48.6 %
NS13012	NS13009	4.9	66.2 %
NS13012	NS13010	3.5	58.8 %
NS13012	NS13016	4.0	50.0 %
NS13012	NS13024	6.7	52.2 %
NS13012	NS13025	8.5	66.7 %

NS13012	NS13041	5.8	35.8 %
NS13012	NS13013	2.4	67.0 %
NS13013	NS13001	8.6	64.4 %
NS13013	NS13010	4.1	87.7 %
NS13014	NS13000	2.3	82.3 %
NS13014	NS13001	2.5	79.5 %
NS13014	NS13002	4.9	65.5 %
NS13014	NS13003	6.7	66.4 %
NS13014	NS13004	2.5	85.1 %
NS13014	NS13005	2.0	53.6 %
NS13014	NS13007	6.3	67.4 %
NS13014	NS13008	7.7	62.3 %
NS13014	NS13009	2.5	84.4 %
NS13014	NS13010	3.0	79.0 %
NS13014	NS13012	4.4	61.7 %
NS13014	NS13013	5.3	84.8 %
NS13014	NS13017	2.7	68.5 %
NS13014	NS13018	2.7	63.7 %
NS13014	NS13015	4.1	73.3 %
NS13014	NS13024	3.2	71.4 %
NS13014	NS13020	3.2	61.0 %
NS13014	NS13016	3.7	69.0 %
NS13014	NS13021	3.4	58.0 %
NS13014	NS13025	4.6	59.7 %
NS13015	NS13000	5.1	66.9 %
NS13015	NS13001	5.6	64.4 %
NS13015	NS13002	9.5	64.5 %
NS13015	NS13004	4.1	80.8 %
NS13015	NS13005	3.2	49.3 %
NS13015	NS13009	2.9	88.3 %
NS13015	NS13010	1.9	94.7 %
NS13015	NS13012	3.0	57.8 %
NS13015	NS13013	3.1	88.8 %
NS13015	NS13016	2.0	88.3 %
NS13015	NS13020	2.3	74.5 %
NS13015	NS13021	4.1	67.3 %
NS13015	NS13024	5.1	73.6 %
NS13015	NS13033	4.1	52.4 %
NS13015	NS13041	3.9	64.6 %
NS13015	NS13025	7.4	63.1 %

NS13015	NS13032	3.3	68.4 %
NS13016	NS13001	4.6	64.9 %
NS13016	NS13004	4.3	77.8 %
NS13016	NS13005	3.2	47.2 %
NS13016	NS13008	9.2	69.7 %
NS13016	NS13009	2.8	85.2 %
NS13016	NS13010	1.9	92.4 %
NS13016	NS13013	4.7	77.1 %
NS13016	NS13041	2.6	81.2 %
NS13016	NS13025	5.6	72.7 %
NS13016	NS13033	2.8	68.8 %
NS13017	NS13000	3.3	75.1 %
NS13017	NS13001	3.6	75.3 %
NS13017	NS13002	7.0	71.1 %
NS13017	NS13003	9.7	61.9 %
NS13017	NS13004	2.4	79.7 %
NS13017	NS13005	2.7	56.7 %
NS13017	NS13008	8.8	72.5 %
NS13017	NS13009	1.7	84.8 %
NS13017	NS13010	2.2	91.2 %
NS13017	NS13012	5.0	60.3 %
NS13017	NS13013	6.4	69.2 %
NS13017	NS13015	3.0	78.6 %
NS13017	NS13016	2.7	92.4 %
NS13017	NS13021	2.3	87.2 %
NS13017	NS13020	1.9	92.1 %
NS13017	NS13037	2.9	71.2 %
NS13017	NS13029	2.7	74.0 %
NS13017	NS13041	3.2	78.8 %
NS13017	NS13024	2.6	90.5 %
NS13017	NS13025	4.6	81.5 %
NS13017	NS13033	4.6	65.5 %
NS13017	NS13032	4.0	77.4 %
NS13018	NS13000	3.6	73.0 %
NS13018	NS13001	3.8	73.5 %
NS13018	NS13002	6.5	67.4 %
NS13018	NS13003	9.4	59.9 %
NS13018	NS13004	2.7	75.5 %
NS13018	NS13005	2.9	53.0 %
NS13018	NS13007	5.2	79.8 %

NS13018	NS13008	8.4	69.4 %
NS13018	NS13009	1.8	92.4 %
NS13018	NS13010	2.2	88.6 %
NS13018	NS13012	5.2	56.9 %
NS13018	NS13013	6.8	65.1 %
NS13018	NS13015	3.2	74.7 %
NS13018	NS13016	2.5	92.0 %
NS13018	NS13017	1.5	97.4 %
NS13018	NS13021	1.8	92.4 %
NS13018	NS13020	1.8	93.4 %
NS13018	NS13037	2.5	73.2 %
NS13018	NS13029	2.4	75.6 %
NS13018	NS13041	2.6	81.3 %
NS13018	NS13024	2.4	90.9 %
NS13018	NS13025	4.2	83.8 %
NS13018	NS13033	3.7	68.1 %
NS13018	NS13032	3.3	78.5 %
NS13018	NS13035	3.7	62.2 %
NS13019	NS13000	3.5	76.1 %
NS13019	NS13001	3.7	76.3 %
NS13019	NS13002	6.9	69.4 %
NS13019	NS13003	10.1	63.0 %
NS13019	NS13004	2.3	77.3 %
NS13019	NS13005	2.7	57.1 %
NS13019	NS13007	5.1	79.7 %
NS13019	NS13008	9.0	69.8 %
NS13019	NS13009	1.7	83.0 %
NS13019	NS13010	2.0	92.7 %
NS13019	NS13012	4.7	60.3 %
NS13019	NS13013	6.1	69.7 %
NS13019	NS13014	2.6	67.3 %
NS13019	NS13015	2.7	77.8 %
NS13019	NS13016	2.1	84.1 %
NS13019	NS13017	1.4	96.7 %
NS13019	NS13018	1.7	95.3 %
NS13019	NS13020	1.8	94.2 %
NS13019	NS13023	1.9	82.7 %
NS13019	NS13021	2.3	87.6 %
NS13019	NS13038	3.0	74.5 %
NS13019	NS13037	3.1	69.3 %

NS13019	NS13029	3.0	71.7 %
NS13019	NS13041	3.0	76.8 %
NS13019	NS13024	2.8	90.4 %
NS13019	NS13025	4.9	81.3 %
NS13019	NS13033	4.0	63.8 %
NS13019	NS13032	3.7	75.4 %
NS13020	NS13001	4.4	74.8 %
NS13020	NS13002	8.0	62.9 %
NS13020	NS13004	3.4	72.2 %
NS13020	NS13005	2.9	51.6 %
NS13020	NS13008	10.2	64.8 %
NS13020	NS13009	2.2	78.0 %
NS13020	NS13010	1.7	91.9 %
NS13020	NS13012	4.2	58.6 %
NS13020	NS13013	5.4	65.7 %
NS13020	NS13016	1.9	83.0 %
NS13020	NS13037	3.3	68.3 %
NS13020	NS13041	2.6	77.4 %
NS13020	NS13024	3.2	89.2 %
NS13020	NS13025	5.5	81.9 %
NS13020	NS13033	3.4	64.3 %
NS13021	NS13001	4.3	69.1 %
NS13021	NS13002	5.4	63.3 %
NS13021	NS13003	9.0	55.8 %
NS13021	NS13004	2.9	70.3 %
NS13021	NS13005	3.5	42.5 %
NS13021	NS13008	7.9	67.1 %
NS13021	NS13009	2.5	86.1 %
NS13021	NS13010	3.0	81.4 %
NS13021	NS13012	6.0	47.2 %
NS13021	NS13013	7.2	59.1 %
NS13021	NS13016	3.3	86.8 %
NS13021	NS13020	2.4	86.8 %
NS13021	NS13037	1.9	80.2 %
NS13021	NS13041	2.1	86.1 %
NS13021	NS13024	2.5	89.3 %
NS13021	NS13025	3.8	86.7 %
NS13021	NS13033	3.1	73.5 %
NS13021	NS13032	3.1	80.1 %
NS13021	NS13035	3.4	69.5 %

NS13022	NS13000	4.3	70.7 %
NS13022	NS13001	4.6	70.0 %
NS13022	NS13003	10.4	53.2 %
NS13022	NS13004	2.6	50.2 %
NS13022	NS13007	4.5	42.8 %
NS13022	NS13008	12.2	30.1 %
NS13022	NS13009	2.6	85.2 %
NS13022	NS13010	3.0	81.1 %
NS13022	NS13012	6.1	60.7 %
NS13022	NS13014	3.2	23.3 %
NS13022	NS13015	4.1	34.1 %
NS13022	NS13016	3.6	87.0 %
NS13022	NS13017	1.9	91.5 %
NS13022	NS13018	1.8	94.2 %
NS13022	NS13019	2.2	90.1 %
NS13022	NS13020	2.4	90.4 %
NS13022	NS13021	1.7	97.2 %
NS13022	NS13023	1.8	69.8 %
NS13022	NS13038	2.3	86.6 %
NS13022	NS13037	2.1	53.5 %
NS13022	NS13029	2.1	57.9 %
NS13022	NS13041	2.6	54.8 %
NS13022	NS13024	2.9	88.4 %
NS13022	NS13025	4.6	85.3 %
NS13022	NS13033	3.7	37.1 %
NS13022	NS13032	3.7	42.8 %
NS13022	NS13035	4.3	31.0 %
NS13023	NS13000	3.4	65.9 %
NS13023	NS13001	3.6	66.5 %
NS13023	NS13002	5.8	72.4 %
NS13023	NS13003	8.3	55.9 %
NS13023	NS13004	2.2	83.9 %
NS13023	NS13005	3.3	50.8 %
NS13023	NS13007	4.4	88.0 %
NS13023	NS13008	6.9	79.7 %
NS13023	NS13009	2.0	89.4 %
NS13023	NS13010	2.8	82.3 %
NS13023	NS13012	6.0	54.9 %
NS13023	NS13013	6.9	67.0 %
NS13023	NS13014	3.1	69.3 %

NS13023	NS13015	3.5	77.1 %
NS13023	NS13016	3.2	85.6 %
NS13023	NS13017	1.8	86.0 %
NS13023	NS13018	1.7	86.0 %
NS13023	NS13020	2.2	79.6 %
NS13023	NS13021	1.7	84.1 %
NS13023	NS13038	2.3	85.7 %
NS13023	NS13037	2.4	81.9 %
NS13023	NS13029	2.2	87.3 %
NS13023	NS13041	2.6	85.2 %
NS13023	NS13024	2.0	91.7 %
NS13023	NS13025	3.4	84.0 %
NS13023	NS13033	3.6	72.0 %
NS13023	NS13032	3.5	83.1 %
NS13023	NS13035	3.6	68.5 %
NS13024	NS13001	3.1	70.3 %
NS13024	NS13004	2.2	87.3 %
NS13024	NS13005	3.5	47.3 %
NS13024	NS13008	4.8	88.5 %
NS13024	NS13009	2.4	86.3 %
NS13024	NS13010	3.5	79.5 %
NS13024	NS13013	8.9	65.6 %
NS13024	NS13016	3.6	81.6 %
NS13024	NS13041	3.7	79.5 %
NS13024	NS13025	2.1	89.0 %
NS13024	NS13033	4.8	67.7 %
NS13024	NS13035	3.7	67.6 %
NS13025	NS13001	3.9	70.8 %
NS13025	NS13004	3.8	75.0 %
NS13025	NS13005	5.9	65.6 %
NS13025	NS13008	4.1	79.4 %
NS13025	NS13010	5.9	68.9 %
NS13025	NS13035	3.1	72.3 %
NS13026	NS13000	3.7	68.7 %
NS13026	NS13001	3.6	70.8 %
NS13026	NS13002	4.0	74.1 %
NS13026	NS13003	4.3	62.7 %
NS13026	NS13004	3.2	81.4 %
NS13026	NS13005	4.5	41.2 %
NS13026	NS13007	2.3	93.5 %

NS13026	NS13008	4.2	86.9 %
NS13026	NS13009	3.0	86.7 %
NS13026	NS13010	4.7	77.6 %
NS13026	NS13016	5.6	78.1 %
NS13026	NS13017	3.2	79.7 %
NS13026	NS13018	3.2	79.0 %
NS13026	NS13019	3.4	76.8 %
NS13026	NS13020	4.3	73.7 %
NS13026	NS13021	3.2	78.7 %
NS13026	NS13022	3.0	53.0 %
NS13026	NS13023	2.7	91.3 %
NS13026	NS13024	1.8	97.3 %
NS13026	NS13025	1.6	93.5 %
NS13026	NS13030	2.0	92.7 %
NS13026	NS13029	2.2	86.7 %
NS13026	NS13039	3.4	84.0 %
NS13026	NS13037	3.1	79.5 %
NS13026	NS13038	3.7	79.0 %
NS13026	NS13041	4.9	73.6 %
NS13026	NS13040	4.4	74.1 %
NS13026	NS13033	6.5	64.5 %
NS13026	NS13032	6.8	71.1 %
NS13026	NS13035	3.2	66.4 %
NS13028	NS13007	3.3	75.2 %
NS13028	NS13009	3.7	77.5 %
NS13028	NS13016	6.0	73.1 %
NS13028	NS13017	3.6	73.7 %
NS13028	NS13018	3.5	75.0 %
NS13028	NS13019	4.0	71.3 %
NS13028	NS13020	4.6	69.6 %
NS13028	NS13021	3.3	79.0 %
NS13028	NS13022	3.2	44.0 %
NS13028	NS13023	3.2	86.5 %
NS13028	NS13024	2.5	87.7 %
NS13028	NS13025	1.6	93.3 %
NS13028	NS13026	1.7	88.2 %
NS13028	NS13029	2.0	95.1 %
NS13028	NS13030	2.0	92.3 %
NS13028	NS13037	2.7	90.6 %
NS13028	NS13039	3.2	87.7 %

NS13028	NS13038	3.4	85.9 %
NS13028	NS13040	4.3	81.6 %
NS13028	NS13041	4.7	77.6 %
NS13028	NS13033	6.8	67.9 %
NS13028	NS13032	7.2	69.1 %
NS13028	NS13035	2.7	79.2 %
NS13029	NS13002	4.9	60.5 %
NS13029	NS13003	7.1	47.9 %
NS13029	NS13004	3.5	70.4 %
NS13029	NS13005	4.3	32.0 %
NS13029	NS13008	6.0	70.2 %
NS13029	NS13009	3.1	76.2 %
NS13029	NS13010	4.0	69.6 %
NS13029	NS13012	6.6	36.5 %
NS13029	NS13015	5.6	64.0 %
NS13029	NS13016	4.4	74.5 %
NS13029	NS13020	3.2	70.3 %
NS13029	NS13021	1.9	81.1 %
NS13029	NS13024	2.2	85.2 %
NS13029	NS13025	2.5	86.2 %
NS13029	NS13037	1.6	93.9 %
NS13029	NS13041	2.7	88.3 %
NS13029	NS13033	3.7	78.2 %
NS13029	NS13032	4.4	80.0 %
NS13029	NS13035	2.7	83.5 %
NS13030	NS13000	3.9	63.8 %
NS13030	NS13001	4.0	64.8 %
NS13030	NS13002	5.2	69.1 %
NS13030	NS13003	7.0	54.9 %
NS13030	NS13004	2.8	79.1 %
NS13030	NS13005	3.7	41.1 %
NS13030	NS13007	3.6	87.0 %
NS13030	NS13008	5.9	78.2 %
NS13030	NS13009	2.6	84.8 %
NS13030	NS13010	3.7	77.4 %
NS13030	NS13012	6.5	46.0 %
NS13030	NS13013	8.2	60.5 %
NS13030	NS13014	3.9	63.3 %
NS13030	NS13015	4.9	69.7 %
NS13030	NS13016	4.2	81.0 %

NS13030	NS13017	2.3	81.1 %
NS13030	NS13018	2.2	82.5 %
NS13030	NS13019	2.7	78.4 %
NS13030	NS13020	3.0	76.2 %
NS13030	NS13021	2.0	84.8 %
NS13030	NS13022	2.2	64.3 %
NS13030	NS13023	1.8	94.5 %
NS13030	NS13024	1.8	93.5 %
NS13030	NS13025	2.3	91.1 %
NS13030	NS13029	1.5	94.1 %
NS13030	NS13039	2.0	92.5 %
NS13030	NS13037	2.1	87.3 %
NS13030	NS13038	2.4	87.2 %
NS13030	NS13041	3.0	86.1 %
NS13030	NS13040	2.8	83.2 %
NS13030	NS13033	4.1	74.5 %
NS13030	NS13032	4.3	80.6 %
NS13030	NS13035	2.9	75.1 %
NS13031	NS13000	4.1	60.4 %
NS13031	NS13001	4.3	61.7 %
NS13031	NS13002	7.0	67.0 %
NS13031	NS13003	9.3	52.1 %
NS13031	NS13004	3.3	77.7 %
NS13031	NS13005	3.2	44.6 %
NS13031	NS13006	3.9	72.4 %
NS13031	NS13007	5.8	81.7 %
NS13031	NS13008	8.8	72.0 %
NS13031	NS13009	2.3	84.6 %
NS13031	NS13010	2.4	81.1 %
NS13031	NS13011	3.9	47.8 %
NS13031	NS13012	5.2	48.1 %
NS13031	NS13013	6.3	68.3 %
NS13031	NS13014	3.5	64.8 %
NS13031	NS13015	3.2	78.6 %
NS13031	NS13016	2.2	87.6 %
NS13031	NS13017	2.2	92.0 %
NS13031	NS13018	1.7	84.2 %
NS13031	NS13019	2.2	92.0 %
NS13031	NS13020	2.1	93.9 %
NS13031	NS13021	1.8	84.8 %

NS13031	NS13022	2.1	96.4 %
NS13031	NS13023	2.1	92.6 %
NS13031	NS13024	2.8	83.7 %
NS13031	NS13025	4.3	77.9 %
NS13031	NS13026	4.0	84.6 %
NS13031	NS13028	4.0	83.9 %
NS13031	NS13029	2.5	86.9 %
NS13031	NS13030	2.4	91.2 %
NS13031	NS13039	1.9	93.3 %
NS13031	NS13038	2.1	89.8 %
NS13031	NS13037	2.4	83.9 %
NS13031	NS13041	1.8	93.0 %
NS13031	NS13040	2.0	86.2 %
NS13031	NS13033	2.5	80.9 %
NS13031	NS13032	2.1	92.7 %
NS13031	NS13036	6.8	58.1 %
NS13031	NS13035	4.0	71.6 %
NS13031	NS13034	2.8	72.0 %
NS13032	NS13005	4.8	28.3 %
NS13032	NS13009	3.8	77.8 %
NS13032	NS13010	3.3	77.8 %
NS13032	NS13012	5.6	36.4 %
NS13032	NS13013	5.4	58.7 %
NS13032	NS13016	2.2	86.7 %
NS13032	NS13020	3.0	75.8 %
NS13032	NS13024	5.1	76.4 %
NS13032	NS13025	7.0	71.7 %
NS13032	NS13041	2.1	92.1 %
NS13032	NS13033	2.2	85.3 %
NS13032	NS13037	3.8	79.3 %
NS13032	NS13035	6.2	65.9 %
NS13033	NS13009	4.0	64.5 %
NS13033	NS13010	3.7	61.0 %
NS13033	NS13013	6.7	46.1 %
NS13033	NS13025	6.5	66.9 %
NS13033	NS13041	1.8	88.3 %
NS13033	NS13035	4.4	72.8 %
NS13034	NS13009	3.9	58.5 %
NS13034	NS13015	5.1	46.5 %
NS13034	NS13016	4.0	59.0 %

NS13034	NS13017	4.3	60.3 %
NS13034	NS13018	3.4	62.3 %
NS13034	NS13019	3.7	58.5 %
NS13034	NS13020	3.4	58.3 %
NS13034	NS13021	2.7	69.8 %
NS13034	NS13022	2.9	33.1 %
NS13034	NS13023	3.2	67.0 %
NS13034	NS13024	3.6	64.9 %
NS13034	NS13025	4.6	67.2 %
NS13034	NS13026	4.5	62.1 %
NS13034	NS13028	4.8	70.8 %
NS13034	NS13029	2.4	79.9 %
NS13034	NS13030	2.9	72.5 %
NS13034	NS13032	4.3	70.2 %
NS13034	NS13033	2.4	84.2 %
NS13034	NS13037	1.7	85.4 %
NS13034	NS13040	2.2	88.2 %
NS13034	NS13035	2.8	77.6 %
NS13034	NS13038	2.0	83.8 %
NS13034	NS13041	2.6	78.8 %
NS13034	NS13039	2.2	79.0 %
NS13034	NS13036	4.8	63.3 %
NS13036	NS13002	4.5	49.1 %
NS13036	NS13003	4.8	54.5 %
NS13036	NS13007	3.9	56.2 %
NS13036	NS13008	4.7	58.1 %
NS13036	NS13009	6.7	50.0 %
NS13036	NS13016	8.1	51.2 %
NS13036	NS13017	7.9	56.7 %
NS13036	NS13018	7.3	59.1 %
NS13036	NS13019	8.1	56.8 %
NS13036	NS13020	8.6	58.2 %
NS13036	NS13021	6.5	64.4 %
NS13036	NS13022	8.1	59.0 %
NS13036	NS13023	6.4	57.5 %
NS13036	NS13024	4.3	58.2 %
NS13036	NS13025	2.5	67.5 %
NS13036	NS13026	2.9	61.0 %
NS13036	NS13028	2.1	76.1 %
NS13036	NS13029	3.6	68.4 %

NS13036	NS13030	4.0	64.5 %
NS13036	NS13032	8.8	55.6 %
NS13036	NS13033	7.6	54.9 %
NS13036	NS13035	2.2	75.9 %
NS13036	NS13037	4.2	70.2 %
NS13036	NS13039	6.0	63.8 %
NS13036	NS13038	5.8	66.5 %
NS13036	NS13041	7.0	62.1 %
NS13036	NS13040	6.1	64.3 %
NS13037	NS13009	3.1	71.6 %
NS13037	NS13010	4.0	65.5 %
NS13037	NS13016	4.3	70.9 %
NS13037	NS13024	2.8	79.6 %
NS13037	NS13025	3.6	81.6 %
NS13037	NS13033	2.9	80.6 %
NS13037	NS13035	2.3	88.7 %
NS13037	NS13041	2.2	88.6 %
NS13038	NS13005	4.1	32.2 %
NS13038	NS13007	5.7	74.6 %
NS13038	NS13009	3.1	75.9 %
NS13038	NS13010	3.6	70.3 %
NS13038	NS13015	4.8	63.4 %
NS13038	NS13016	3.8	76.5 %
NS13038	NS13017	3.0	76.2 %
NS13038	NS13018	2.5	78.9 %
NS13038	NS13020	2.9	74.1 %
NS13038	NS13021	1.8	85.8 %
NS13038	NS13024	3.1	81.6 %
NS13038	NS13025	4.3	81.5 %
NS13038	NS13029	1.8	90.8 %
NS13038	NS13032	3.0	84.9 %
NS13038	NS13033	2.5	84.6 %
NS13038	NS13035	3.2	82.0 %
NS13038	NS13037	1.5	93.6 %
NS13038	NS13041	1.7	93.9 %
NS13039	NS13004	3.4	72.2 %
NS13039	NS13005	3.8	38.8 %
NS13039	NS13007	5.5	78.8 %
NS13039	NS13009	2.7	79.5 %
NS13039	NS13010	3.2	74.0 %

NS13039	NS13015	4.4	68.9 %
NS13039	NS13016	3.4	80.1 %
NS13039	NS13017	2.5	79.4 %
NS13039	NS13018	2.1	81.1 %
NS13039	NS13019	2.6	77.0 %
NS13039	NS13020	2.5	76.1 %
NS13039	NS13021	1.5	87.5 %
NS13039	NS13022	1.9	66.3 %
NS13039	NS13023	2.0	88.0 %
NS13039	NS13024	2.8	84.2 %
NS13039	NS13025	4.0	82.4 %
NS13039	NS13029	1.7	93.1 %
NS13039	NS13032	2.9	87.3 %
NS13039	NS13033	2.6	82.6 %
NS13039	NS13035	3.3	78.4 %
NS13039	NS13037	1.6	91.2 %
NS13039	NS13038	1.3	94.3 %
NS13039	NS13041	1.8	93.9 %
NS13040	NS13009	3.2	70.7 %
NS13040	NS13016	3.3	72.7 %
NS13040	NS13017	3.3	71.9 %
NS13040	NS13018	2.7	74.3 %
NS13040	NS13019	3.1	70.1 %
NS13040	NS13020	2.9	70.4 %
NS13040	NS13021	2.0	81.2 %
NS13040	NS13022	2.3	51.6 %
NS13040	NS13023	2.6	80.4 %
NS13040	NS13024	3.6	75.9 %
NS13040	NS13025	5.0	76.1 %
NS13040	NS13029	2.3	88.1 %
NS13040	NS13032	2.6	86.7 %
NS13040	NS13033	1.8	90.5 %
NS13040	NS13035	3.7	83.7 %
NS13040	NS13037	1.7	91.3 %
NS13040	NS13038	1.6	94.4 %
NS13040	NS13039	1.7	91.8 %
NS13040	NS13041	1.4	95.4 %
NS13041	NS13005	3.9	31.7 %
NS13041	NS13009	3.1	77.1 %
NS13041	NS13010	3.1	73.3 %

NS13041	NS13013	6.8	55.1 %
NS13041	NS13025	5.2	77.7 %
NS13041	NS13035	4.2	74.9 %

Target Statistics

Cluster/Scan 1	Target 1	Cluster/Scan 2	Target 2	Dist. [mm]	Hor. [mm]	Ver. [mm]	Angle [deg]
NS13000	SPHN.4	NS13007	SPHN.4	12.1	12.0	1.0	-
NS13000	SPHN.4	NS13008	SPHN.4	13.8	13.8	0.2	-
NS13000	SPHN.4	NS13002	SPHN.4	6.9	6.8	1.3	-
NS13000	SPHN.4	NS13003	SPHN.4	9.3	9.2	1.0	-
NS13000	SPHN.4	NS13004	SPHN.4	7.5	7.5	0.9	-
NS13000	SPHN.4	NS13001	SPHN.4	5.1	4.9	1.3	-
NS13000	SPHN.1	NS13001	SPHN.1	7.1	7.0	0.6	-
NS13000	SPHN.1	NS13014	SPHN.1	17.1	16.2	5.5	-
NS13007	SPHN.3	NS13008	SPHN.3	4.6	4.2	1.7	-
NS13007	SPHN.19	NS13008	SPHN.19	5.5	5.0	2.2	-
NS13007	SPHN.6	NS13008	SPHN.6	6.4	5.0	4.0	-
NS13007	SPHN.3	NS13003	SPHN.3	19.0	18.9	1.5	-
NS13007	SPHN.19	NS13026	SPHN.19	11.9	11.9	1.2	-
NS13007	SPHN.19	NS13024	SPHN.19	14.0	13.8	2.3	-
NS13008	Sphere7	NS13007	Sphere7	10.7	10.7	1.1	-
NS13008	SPHN.4	NS13007	SPHN.4	5.6	5.5	1.3	-
NS13008	SPHN.3	NS13003	SPHN.3	17.5	17.5	0.2	-
NS13008	SPHN.4	NS13003	SPHN.4	5.3	5.2	1.2	-
NS13008	SPHN.4	NS13001	SPHN.4	12.2	12.1	1.5	-
NS13008	Sphere7	NS13026	Sphere7	20.5	20.4	2.3	-
NS13008	SPHN.19	NS13026	SPHN.19	11.8	11.8	1.0	-
NS13002	SPHN.5	NS13000	SPHN.5	9.0	9.0	0.6	-
NS13002	SPHN.2	NS13000	SPHN.2	9.6	9.5	1.3	-
NS13002	SPHN.8	NS13006	SPHN.8	8.8	8.0	3.7	-
NS13002	SPHN.3	NS13007	SPHN.3	17.1	17.0	0.8	-
NS13002	SPHN.4	NS13007	SPHN.4	11.5	11.5	0.2	-
NS13002	SPHN.3	NS13008	SPHN.3	16.7	16.6	0.9	-
NS13002	SPHN.4	NS13008	SPHN.4	10.3	10.2	1.5	-
NS13002	SPHN.8	NS13012	SPHN.8	4.9	4.8	1.3	-
NS13002	SPHN.8	NS13003	SPHN.8	6.9	6.3	2.8	-
NS13002	SPHN.4	NS13003	SPHN.4	5.1	5.1	0.3	-
NS13002	SPHN.5	NS13003	SPHN.5	4.3	4.3	0.6	-

NS13002	SPHN.3	NS13003	SPHN.3	4.5	4.4	0.7	-
NS13002	SPHN.2	NS13003	SPHN.2	8.5	8.5	0.2	-
NS13002	SPHN.8	NS13004	SPHN.8	7.0	6.7	1.9	-
NS13002	SPHN.4	NS13004	SPHN.4	10.7	10.4	2.2	-
NS13002	SPHN.5	NS13004	SPHN.5	9.1	9.0	1.0	-
NS13002	SPHN.4	NS13001	SPHN.4	2.4	2.4	0.1	-
NS13002	SPHN.5	NS13001	SPHN.5	7.4	7.3	0.9	-
NS13002	SPHN.2	NS13001	SPHN.2	11.6	11.6	0.1	-
NS13003	SPHN.5	NS13000	SPHN.5	12.8	12.8	1.1	-
NS13003	SPHN.2	NS13000	SPHN.2	5.3	5.2	1.1	-
NS13003	SPHN.8	NS13006	SPHN.8	12.4	10.5	6.5	-
NS13003	SPHN.4	NS13007	SPHN.4	7.0	7.0	0.1	-
NS13003	SPHN.2	NS13001	SPHN.2	4.0	4.0	0.1	-
NS13003	SPHN.4	NS13001	SPHN.4	6.9	6.9	0.3	-
NS13003	SPHN.8	NS13004	SPHN.8	5.5	2.8	4.8	-
NS13004	SPHN.5	NS13000	SPHN.5	16.6	16.5	1.5	-
NS13004	SPHN.8	NS13006	SPHN.8	12.7	12.6	1.7	-
NS13004	SPHN.6	NS13007	SPHN.6	12.8	12.7	1.8	-
NS13004	SPHN.4	NS13007	SPHN.4	6.5	6.2	2.0	-
NS13004	SPHN.6	NS13008	SPHN.6	9.9	8.1	5.8	-
NS13004	SPHN.4	NS13008	SPHN.4	10.5	10.5	0.7	-
NS13004	SPHN.9	NS13009	SPHN.9	8.6	8.6	0.0	-
NS13004	SPHN.6	NS13009	SPHN.6	8.2	8.2	0.5	-
NS13004	SPHN.4	NS13003	SPHN.4	8.8	8.6	1.9	-
NS13004	SPHN.5	NS13003	SPHN.5	5.0	5.0	0.4	-
NS13004	SPHN.4	NS13001	SPHN.4	10.4	10.2	2.2	-
NS13004	SPHN.5	NS13001	SPHN.5	16.2	16.1	1.8	-
NS13004	SPHN.6	NS13024	SPHN.6	21.0	21.0	0.8	-
NS13001	SPHN.5	NS13000	SPHN.5	9.3	9.3	0.3	-
NS13001	SPHN.8	NS13000	SPHN.8	7.6	7.6	0.3	-
NS13001	SPHN.2	NS13000	SPHN.2	4.1	4.0	1.2	-
NS13001	SPHN.4	NS13007	SPHN.4	12.5	12.5	0.3	-
NS13001	SPHN.5	NS13003	SPHN.5	11.2	11.1	1.4	-
NS13001	SPHN.1	NS13014	SPHN.1	23.1	22.2	6.1	-
NS13014	SPHN.13	NS13006	SPHN.13	3.2	2.2	2.4	-
NS13014	SPHN.9	NS13006	SPHN.9	3.9	3.4	2.1	-
NS13014	SPHN.10	NS13006	SPHN.10	7.0	3.8	5.8	-
NS13014	SPHN.8	NS13006	SPHN.8	7.3	5.4	5.0	-
NS13014	SPHN.13	NS13005	SPHN.13	3.7	1.3	3.5	-
NS13014	SPHN.8	NS13012	SPHN.8	13.2	13.2	0.0	-

NS13014	SPHN.10	NS13012	SPHN.10	8.7	6.9	5.3	-
NS13014	SPHN.13	NS13012	SPHN.13	9.3	8.6	3.5	-
NS13014	SPHN.13	NS13010	SPHN.13	9.2	9.2	0.1	-
NS13014	SPHN.13	NS13011	SPHN.13	8.4	7.9	2.8	-
NS13014	SPHN.8	NS13002	SPHN.8	8.6	8.5	1.3	-
NS13014	SPHN.8	NS13003	SPHN.8	13.7	13.6	1.5	-
NS13014	SPHN.8	NS13004	SPHN.8	15.3	14.9	3.2	-
NS13014	SPHN.13	NS13013	SPHN.13	4.0	4.0	0.3	-
NS13014	SPHN.10	NS13013	SPHN.10	6.0	6.0	0.1	-
NS13014	SPHN.13	NS13015	SPHN.13	14.6	14.6	0.8	-
NS13006	SPHN.13	NS13010	SPHN.13	8.5	8.2	2.4	-
NS13006	SPHN.10	NS13013	SPHN.10	6.5	2.6	5.9	-
NS13005	SPHN.13	NS13006	SPHN.13	2.0	1.6	1.2	-
NS13005	SPHN.9	NS13006	SPHN.9	6.3	6.3	0.4	-
NS13005	SPHN.10	NS13006	SPHN.10	6.6	6.3	2.0	-
NS13005	SPHN.8	NS13006	SPHN.8	3.5	3.4	0.3	-
NS13005	SPHN.8	NS13012	SPHN.8	9.4	8.1	4.7	-
NS13005	SPHN.13	NS13012	SPHN.13	9.4	9.4	0.0	-
NS13005	SPHN.10	NS13012	SPHN.10	4.9	4.2	2.5	-
NS13005	SPHN.8	NS13002	SPHN.8	6.2	5.3	3.4	-
NS13005	SPHN.8	NS13003	SPHN.8	9.4	7.1	6.2	-
NS13005	SPHN.8	NS13004	SPHN.8	9.3	9.2	1.4	-
NS13005	SPHN.8	NS13014	SPHN.8	8.5	7.1	4.6	-
NS13005	SPHN.9	NS13014	SPHN.9	5.2	4.9	1.7	-
NS13005	SPHN.10	NS13014	SPHN.10	12.3	9.5	7.8	-
NS13005	SPHN.13	NS13010	SPHN.13	10.3	9.6	3.6	-
NS13005	SPHN.10	NS13011	SPHN.10	3.1	1.9	2.5	-
NS13005	SPHN.13	NS13013	SPHN.13	5.6	4.6	3.2	-
NS13005	SPHN.12	NS13013	SPHN.12	10.4	10.3	1.6	-
NS13005	SPHN.10	NS13013	SPHN.10	8.7	3.7	7.9	-
NS13005	SPHN.13	NS13015	SPHN.13	14.7	14.1	4.3	-
NS13005	SPHN.12	NS13015	SPHN.12	20.2	19.9	3.4	-
NS13012	SPHN.13	NS13006	SPHN.13	10.9	10.8	1.1	-
NS13012	SPHN.10	NS13006	SPHN.10	5.3	5.3	0.5	-
NS13012	SPHN.8	NS13006	SPHN.8	12.5	11.5	5.0	-
NS13012	SPHN.12	NS13005	SPHN.12	7.1	6.8	2.0	-
NS13012	SPHN.11	NS13011	SPHN.11	5.4	5.2	1.1	-
NS13012	Sphere8	NS13011	Sphere8	8.9	7.9	4.2	-
NS13012	SPHN.12	NS13011	SPHN.12	6.4	6.3	0.5	-
NS13012	SPHN.10	NS13013	SPHN.10	6.5	3.6	5.4	-

NS13012	SPHN.13	NS13013	SPHN.13	5.8	4.9	3.2	-
NS13012	SPHN.12	NS13013	SPHN.12	5.0	3.5	3.6	-
NS13012	SPHN.12	NS13015	SPHN.12	18.8	18.0	5.4	-
NS13012	SPHN.8	NS13003	SPHN.8	3.8	3.5	1.5	-
NS13012	SPHN.8	NS13004	SPHN.8	3.9	2.2	3.3	-
NS13012	SPHN.13	NS13010	SPHN.13	16.6	16.2	3.6	-
NS13012	SPHN.12	NS13010	SPHN.12	15.3	15.1	2.4	-
NS13010	SPHN.12	NS13005	SPHN.12	15.9	15.9	0.4	-
NS13010	SPHN.14	NS13009	SPHN.14	6.5	6.5	0.2	-
NS13010	SPHN.12	NS13011	SPHN.12	11.2	11.1	1.9	-
NS13010	SPHN.12	NS13013	SPHN.12	15.9	15.9	1.1	-
NS13010	SPHN.12	NS13015	SPHN.12	5.4	4.5	3.0	-
NS13010	SPHN.14	NS13015	SPHN.14	3.6	3.5	0.8	-
NS13010	SPHN.14	NS13017	SPHN.14	12.2	12.0	2.2	-
NS13010	SPHN.14	NS13019	SPHN.14	13.3	12.8	3.6	-
NS13011	SPHN.13	NS13006	SPHN.13	10.1	10.1	0.5	-
NS13011	SPHN.10	NS13006	SPHN.10	4.4	4.4	0.5	-
NS13011	SPHN.13	NS13005	SPHN.13	8.7	8.7	0.7	-
NS13011	SPHN.12	NS13005	SPHN.12	5.1	4.9	1.5	-
NS13011	SPHN.10	NS13012	SPHN.10	3.5	3.5	0.0	-
NS13011	SPHN.13	NS13012	SPHN.13	1.0	0.7	0.7	-
NS13011	SPHN.13	NS13010	SPHN.13	15.9	15.6	2.9	-
NS13011	SPHN.12	NS13013	SPHN.12	9.6	9.2	3.0	-
NS13011	SPHN.10	NS13013	SPHN.10	5.7	1.8	5.4	-
NS13011	SPHN.13	NS13013	SPHN.13	4.9	4.1	2.6	-
NS13011	SPHN.12	NS13015	SPHN.12	15.7	14.9	4.9	-
NS13011	SPHN.13	NS13015	SPHN.13	22.7	22.4	3.6	-
NS13011	SPHN.10	NS13014	SPHN.10	9.4	7.7	5.3	-
NS13013	SPHN.13	NS13006	SPHN.13	6.4	6.1	2.1	-
NS13013	SPHN.11	NS13012	SPHN.11	6.3	4.9	4.0	-
NS13013	SPHN.13	NS13010	SPHN.13	12.7	12.7	0.3	-
NS13013	SPHN.11	NS13011	SPHN.11	3.0	0.8	2.9	-
NS13013	SPHN.12	NS13015	SPHN.12	18.0	17.9	1.8	-
NS13013	SPHN.18	NS13016	SPHN.18	25.8	25.8	1.2	-
NS13015	SPHN.13	NS13006	SPHN.13	12.9	12.5	3.1	-
NS13015	SPHN.11	NS13012	SPHN.11	16.8	16.2	4.3	-
NS13015	SPHN.13	NS13012	SPHN.13	23.5	23.1	4.3	-
NS13015	Sphere1	NS13010	Sphere1	5.1	3.2	3.9	-
NS13015	SPHN.13	NS13010	SPHN.13	9.3	9.3	0.7	-
NS13015	SPHN.11	NS13011	SPHN.11	11.8	11.4	3.2	-

NS13015	SPHN.11	NS13013	SPHN.11	11.4	11.4	0.4	-
NS13015	SPHN.18	NS13013	SPHN.18	15.5	15.3	2.7	-
NS13015	SPHN.13	NS13013	SPHN.13	18.6	18.5	1.0	-
NS13015	SPHN.14	NS13017	SPHN.14	15.2	15.1	1.4	-
NS13015	SPHN.14	NS13019	SPHN.14	16.0	15.8	2.9	-
NS13015	SPHN.18	NS13016	SPHN.18	11.0	10.9	1.5	-
NS13026	Sphere7	NS13007	Sphere7	10.6	10.6	1.2	-
NS13026	SPHN.30	NS13030	SPHN.30	9.9	9.6	2.4	-
NS13026	SPHN.25	NS13030	SPHN.25	10.4	10.4	0.4	-
NS13026	SPHN.30	NS13025	SPHN.30	4.2	2.0	3.7	-
NS13026	SPHN.30	NS13028	SPHN.30	11.5	11.3	2.0	-
NS13024	SPHN.6	NS13007	SPHN.6	9.2	8.8	2.7	-
NS13024	SPHN.6	NS13008	SPHN.6	15.3	13.8	6.6	-
NS13024	SPHN.19	NS13008	SPHN.19	11.4	11.4	0.0	-
NS13024	SPHN.6	NS13009	SPHN.6	19.2	19.2	1.3	-
NS13024	SPHN.25	NS13030	SPHN.25	14.0	14.0	0.7	-
NS13024	SPHN.20	NS13030	SPHN.20	17.5	17.5	0.8	-
NS13024	SPHN.25	NS13025	SPHN.25	8.2	8.1	0.9	-
NS13024	SPHN.19	NS13026	SPHN.19	6.2	6.1	1.0	-
NS13024	SPHN.25	NS13026	SPHN.25	4.1	4.0	1.1	-
NS13024	SPHN.17	NS13023	SPHN.17	8.9	8.9	0.8	-
NS13009	SPHN.6	NS13007	SPHN.6	10.7	10.6	1.3	-
NS13009	SPHN.6	NS13008	SPHN.6	8.1	6.2	5.3	-
NS13009	SPHN.7	NS13010	SPHN.7	4.5	4.4	0.9	-
NS13009	SPHN.17	NS13020	SPHN.17	8.5	8.5	0.3	-
NS13009	SPHN.17	NS13017	SPHN.17	5.1	4.9	1.6	-
NS13009	SPHN.14	NS13017	SPHN.14	6.3	6.0	1.9	-
NS13009	SPHN.17	NS13019	SPHN.17	4.0	3.7	1.5	-
NS13009	SPHN.14	NS13019	SPHN.14	7.8	7.0	3.4	-
NS13009	SPHN.17	NS13024	SPHN.17	18.6	18.5	2.0	-
NS13009	SPHN.17	NS13023	SPHN.17	20.1	20.1	1.2	-
NS13009	SPHN.14	NS13015	SPHN.14	9.9	9.9	0.5	-
NS13020	SPHN.7	NS13009	SPHN.7	15.4	15.4	0.8	-
NS13020	SPHN.7	NS13010	SPHN.7	11.2	11.1	1.7	-
NS13020	SPHN.15	NS13017	SPHN.15	4.4	4.4	0.3	-
NS13020	SPHN.16	NS13017	SPHN.16	8.9	8.8	0.8	-
NS13020	SPHN.16	NS13018	SPHN.16	8.3	8.3	0.0	-
NS13020	SPHN.7	NS13019	SPHN.7	3.9	3.7	1.3	-
NS13020	SPHN.17	NS13019	SPHN.17	5.6	5.3	1.7	-
NS13020	SPHN.17	NS13023	SPHN.17	12.3	12.2	1.4	-

NS13020	SPHN.16	NS13023	SPHN.16	17.4	17.3	1.7	-
NS13020	SPHN.17	NS13024	SPHN.17	13.7	13.6	2.2	-
NS13020	SPHN.16	NS13016	SPHN.16	4.5	3.1	3.3	-
NS13020	SPHN.14	NS13016	SPHN.14	4.4	2.8	3.4	-
NS13017	SPHN.7	NS13009	SPHN.7	13.0	12.9	1.4	-
NS13017	SPHN.7	NS13010	SPHN.7	9.0	8.6	2.3	-
NS13017	SPHN.7	NS13020	SPHN.7	2.6	2.6	0.6	-
NS13017	SPHN.17	NS13020	SPHN.17	4.1	3.6	1.9	-
NS13017	SPHN.16	NS13016	SPHN.16	9.4	9.0	2.5	-
NS13017	SPHN.16	NS13018	SPHN.16	2.2	2.1	0.7	-
NS13017	SPHN.17	NS13019	SPHN.17	1.9	1.9	0.2	-
NS13017	SPHN.7	NS13019	SPHN.7	5.4	5.3	0.6	-
NS13017	SPHN.17	NS13023	SPHN.17	15.7	15.7	0.5	-
NS13017	SPHN.17	NS13024	SPHN.17	15.7	15.6	0.3	-
NS13018	SPHN.7	NS13009	SPHN.7	17.8	17.7	1.7	-
NS13018	SPHN.17	NS13009	SPHN.17	12.8	12.7	1.7	-
NS13018	SPHN.14	NS13009	SPHN.14	7.2	7.0	1.6	-
NS13018	SPHN.7	NS13010	SPHN.7	14.0	13.7	2.6	-
NS13018	SPHN.14	NS13010	SPHN.14	13.6	13.5	1.8	-
NS13018	SPHN.7	NS13020	SPHN.7	4.3	4.2	0.9	-
NS13018	SPHN.17	NS13020	SPHN.17	4.7	4.2	2.0	-
NS13018	SPHN.15	NS13020	SPHN.15	8.6	8.6	0.0	-
NS13018	SPHN.14	NS13015	SPHN.14	17.0	16.9	1.1	-
NS13018	SPHN.16	NS13016	SPHN.16	8.5	7.8	3.3	-
NS13018	SPHN.15	NS13016	SPHN.15	11.8	11.7	1.9	-
NS13018	SPHN.15	NS13017	SPHN.15	4.2	4.2	0.3	-
NS13018	SPHN.17	NS13017	SPHN.17	7.8	7.8	0.1	-
NS13018	SPHN.7	NS13017	SPHN.7	5.5	5.5	0.3	-
NS13018	SPHN.14	NS13017	SPHN.14	3.9	3.8	0.4	-
NS13018	SPHN.14	NS13019	SPHN.14	4.8	4.5	1.8	-
NS13018	SPHN.17	NS13019	SPHN.17	9.5	9.5	0.3	-
NS13018	SPHN.15	NS13019	SPHN.15	6.7	6.6	1.2	-
NS13018	SPHN.7	NS13019	SPHN.7	7.4	7.4	0.4	-
NS13018	SPHN.17	NS13023	SPHN.17	8.6	8.6	0.5	-
NS13018	SPHN.17	NS13024	SPHN.17	12.4	12.4	0.2	-
NS13019	SPHN.7	NS13009	SPHN.7	16.9	16.8	2.0	-
NS13019	SPHN.7	NS13010	SPHN.7	12.8	12.4	3.0	-
NS13019	SPHN.15	NS13020	SPHN.15	2.9	2.6	1.2	-
NS13019	SPHN.16	NS13020	SPHN.16	6.4	6.4	0.6	-
NS13019	SPHN.16	NS13016	SPHN.16	7.1	6.6	2.7	-

NS13019	SPHN.15	NS13016	SPHN.15	7.3	6.6	3.2	-
NS13019	SPHN.15	NS13017	SPHN.15	2.7	2.5	0.9	-
NS13019	SPHN.16	NS13017	SPHN.16	2.5	2.5	0.1	-
NS13019	SPHN.14	NS13017	SPHN.14	1.8	1.1	1.4	-
NS13019	SPHN.16	NS13018	SPHN.16	2.5	2.4	0.6	-
NS13019	SPHN.16	NS13023	SPHN.16	12.6	12.5	1.1	-
NS13019	SPHN.17	NS13023	SPHN.17	17.5	17.5	0.3	-
NS13019	SPHN.17	NS13024	SPHN.17	17.4	17.4	0.5	-
NS13023	SPHN.25	NS13030	SPHN.25	13.5	13.5	0.8	-
NS13023	SPHN.24	NS13030	SPHN.24	10.4	10.4	1.2	-
NS13023	SPHN.24	NS13031	SPHN.24	10.0	10.0	0.2	-
NS13023	SPHN.24	NS13021	SPHN.24	18.3	18.0	3.2	-
NS13023	SPHN.24	NS13022	SPHN.24	12.9	12.0	4.7	-
NS13023	SPHN.16	NS13016	SPHN.16	15.4	15.3	1.5	-
NS13023	SPHN.16	NS13017	SPHN.16	11.5	11.4	1.0	-
NS13023	SPHN.16	NS13018	SPHN.16	10.3	10.2	1.7	-
NS13023	SPHN.25	NS13025	SPHN.25	14.5	14.4	0.5	-
NS13023	SPHN.25	NS13026	SPHN.25	13.6	13.6	0.4	-
NS13023	SPHN.25	NS13024	SPHN.25	13.7	13.6	1.5	-
NS13034	SPHN.35	NS13035	SPHN.35	10.8	10.8	0.3	-
NS13034	SPHN.35	NS13036	SPHN.35	12.6	12.4	2.2	-
NS13034	SPHN.35	NS13037	SPHN.35	13.3	13.2	0.7	-
NS13034	SPHN.43	NS13033	SPHN.43	12.4	12.0	3.2	-
NS13035	SPHN.31	NS13036	SPHN.31	13.8	13.8	1.1	-
NS13035	SPHN.35	NS13036	SPHN.35	7.8	7.5	1.9	-
NS13035	SPHN.34	NS13036	SPHN.34	14.4	14.4	0.2	-
NS13035	SPHN.35	NS13037	SPHN.35	12.5	12.5	1.0	-
NS13037	Sphere32	NS13035	SPHN.34	16.3	16.3	0.3	-
NS13037	Sphere32	NS13036	SPHN.34	9.8	9.8	0.1	-
NS13037	SPHN.29	NS13036	SPHN.29	10.7	10.7	0.3	-
NS13037	SPHN.35	NS13036	SPHN.35	6.2	5.5	2.9	-
NS13037	SPHN.32	NS13036	SPHN.32	12.9	12.8	0.5	-
NS13037	SPHN.28	NS13038	SPHN.28	9.6	9.6	0.0	-
NS13037	SPHN.29	NS13029	SPHN.29	12.9	12.8	1.1	-
NS13037	SPHN.29	NS13025	SPHN.29	15.7	15.7	1.2	-
NS13037	SPHN.29	NS13028	SPHN.29	19.5	19.5	0.7	-
NS13037	SPHN.32	NS13028	SPHN.32	15.1	15.1	1.0	-
NS13037	SPHN.28	NS13028	SPHN.28	10.6	10.6	0.5	-
NS13037	SPHN.28	NS13039	SPHN.28	13.8	13.8	0.9	-
NS13038	SPHN.35	NS13034	SPHN.35	12.4	12.4	0.1	-

NS13038	SPHN.35	NS13035	SPHN.35	15.6	15.6	0.4	-
NS13038	SPHN.35	NS13036	SPHN.35	10.2	10.0	2.3	-
NS13038	SPHN.35	NS13037	SPHN.35	5.2	5.1	0.6	-
NS13038	SPHN.27	NS13029	SPHN.27	14.4	14.4	1.0	-
NS13038	SPHN.27	NS13030	SPHN.27	14.1	14.1	0.4	-
NS13038	SPHN.27	NS13040	SPHN.27	2.0	1.9	0.8	-
NS13038	SPHN.28	NS13028	SPHN.28	12.5	12.4	0.5	-
NS13040	SPHN.35	NS13034	SPHN.35	10.0	9.9	1.0	-
NS13040	SPHN.35	NS13035	SPHN.35	18.0	18.0	0.7	-
NS13040	SPHN.35	NS13036	SPHN.35	15.1	15.1	1.2	-
NS13040	SPHN.35	NS13037	SPHN.35	12.0	11.9	1.7	-
NS13040	SPHN.28	NS13037	SPHN.28	7.1	7.1	0.4	-
NS13040	SPHN.27	NS13030	SPHN.27	15.6	15.6	0.5	-
NS13040	SPHN.22	NS13031	SPHN.22	17.0	16.9	2.2	-
NS13040	SPHN.22	NS13032	SPHN.22	5.9	4.8	3.5	-
NS13040	SPHN.28	NS13038	SPHN.28	3.2	3.2	0.4	-
NS13040	SPHN.38	NS13038	SPHN.38	9.4	9.2	2.0	-
NS13040	SPHN.35	NS13038	SPHN.35	7.5	7.5	1.1	-
NS13040	SPHN.22	NS13038	SPHN.22	2.4	2.3	0.7	-
NS13040	SPHN.28	NS13039	SPHN.28	6.8	6.8	0.5	-
NS13040	SPHN.38	NS13039	SPHN.38	15.0	15.0	1.1	-
NS13040	SPHN.38	NS13041	SPHN.38	13.2	13.1	1.6	-
NS13040	SPHN.22	NS13041	SPHN.22	4.7	4.6	0.7	-
NS13040	SPHN.28	NS13028	SPHN.28	9.7	9.6	0.9	-
NS13040	SPHN.22	NS13022	SPHN.22	18.8	18.6	2.6	-
NS13033	SPHN.46	NS13034	SPHN.46	15.4	15.4	0.1	-
NS13033	SPHN.40	NS13032	SPHN.40	8.2	8.2	0.7	-
NS13029	SPHN.29	NS13036	SPHN.29	5.3	5.2	0.9	-
NS13029	SPHN.32	NS13036	SPHN.32	11.5	11.5	0.3	-
NS13029	SPHN.32	NS13037	SPHN.32	10.4	10.3	0.9	-
NS13029	SPHN.27	NS13030	SPHN.27	7.0	6.9	0.7	-
NS13029	SPHN.30	NS13030	SPHN.30	14.1	14.1	0.4	-
NS13029	SPHN.27	NS13040	SPHN.27	16.2	16.2	0.2	-
NS13029	SPHN.30	NS13025	SPHN.30	17.3	17.3	1.6	-
NS13029	SPHN.30	NS13026	SPHN.30	17.1	16.9	2.1	-
NS13029	SPHN.30	NS13028	SPHN.30	14.9	14.9	0.1	-
NS13029	SPHN.29	NS13028	SPHN.29	7.3	7.3	0.4	-
NS13029	SPHN.32	NS13028	SPHN.32	7.6	7.6	0.1	-
NS13025	SPHN.29	NS13036	SPHN.29	16.5	16.5	0.9	-
NS13025	SPHN.29	NS13029	SPHN.29	12.6	12.6	0.1	-

NS13025	SPHN.30	NS13030	SPHN.30	8.3	8.2	1.2	-
NS13025	SPHN.25	NS13030	SPHN.25	6.9	6.9	0.3	-
NS13025	SPHN.20	NS13030	SPHN.20	12.1	12.1	0.7	-
NS13025	SPHN.25	NS13026	SPHN.25	4.2	4.2	0.1	-
NS13025	SPHN.26	NS13026	SPHN.26	4.8	4.7	0.5	-
NS13025	SPHN.30	NS13028	SPHN.30	13.2	13.1	1.7	-
NS13025	SPHN.29	NS13028	SPHN.29	12.7	12.7	0.5	-
NS13025	SPHN.20	NS13024	SPHN.20	15.3	15.2	1.5	-
NS13028	SPHN.29	NS13036	SPHN.29	12.2	12.2	0.4	-
NS13028	SPHN.32	NS13036	SPHN.32	7.7	7.7	0.4	-
NS13028	SPHN.30	NS13030	SPHN.30	17.7	17.7	0.4	-
NS13028	SPHN.26	NS13025	SPHN.26	14.4	14.4	0.9	-
NS13028	SPHN.26	NS13026	SPHN.26	12.1	12.0	1.4	-
NS13039	SPHN.27	NS13029	SPHN.27	16.4	16.4	0.2	-
NS13039	SPHN.27	NS13030	SPHN.27	11.3	11.3	0.8	-
NS13039	SPHN.22	NS13031	SPHN.22	13.3	13.0	2.5	-
NS13039	SPHN.23	NS13031	SPHN.23	5.2	5.1	1.0	-
NS13039	SPHN.22	NS13032	SPHN.22	6.3	5.1	3.8	-
NS13039	SPHN.27	NS13038	SPHN.27	10.9	10.8	1.2	-
NS13039	SPHN.28	NS13038	SPHN.28	6.0	5.9	0.9	-
NS13039	SPHN.38	NS13038	SPHN.38	8.0	7.9	1.0	-
NS13039	SPHN.22	NS13038	SPHN.22	3.3	3.3	0.4	-
NS13039	SPHN.22	NS13040	SPHN.22	5.3	5.3	0.3	-
NS13039	SPHN.27	NS13040	SPHN.27	11.0	11.0	0.3	-
NS13039	SPHN.22	NS13041	SPHN.22	9.2	9.2	0.4	-
NS13039	SPHN.27	NS13041	SPHN.27	5.6	5.5	0.8	-
NS13039	SPHN.38	NS13041	SPHN.38	12.8	12.8	0.6	-
NS13039	SPHN.22	NS13021	SPHN.22	9.5	9.1	2.7	-
NS13039	SPHN.27	NS13021	SPHN.27	4.0	3.9	1.0	-
NS13039	SPHN.23	NS13021	SPHN.23	5.7	5.4	1.8	-
NS13039	SPHN.22	NS13022	SPHN.22	15.8	15.6	2.3	-
NS13039	SPHN.28	NS13028	SPHN.28	11.5	11.5	1.3	-
NS13039	SPHN.23	NS13023	SPHN.23	10.4	10.3	0.3	-
NS13030	SPHN.24	NS13021	SPHN.24	14.8	14.6	2.0	-
NS13030	SPHN.24	NS13031	SPHN.24	15.3	15.3	1.0	-
NS13030	SPHN.24	NS13022	SPHN.24	12.9	12.4	3.4	-
NS13041	SPHN.27	NS13029	SPHN.27	17.6	17.6	0.6	-
NS13041	SPHN.27	NS13030	SPHN.27	14.3	14.3	0.0	-
NS13041	SPHN.39	NS13031	SPHN.39	10.2	10.2	0.2	-
NS13041	SPHN.39	NS13032	SPHN.39	7.8	7.5	1.9	-

NS13041	SPHN.27	NS13038	SPHN.27	6.9	6.9	0.4	-
NS13041	SPHN.38	NS13038	SPHN.38	14.7	14.7	0.4	-
NS13041	SPHN.22	NS13038	SPHN.22	6.8	6.8	0.0	-
NS13041	SPHN.27	NS13040	SPHN.27	6.3	6.3	0.4	-
NS13041	SPHN.22	NS13022	SPHN.22	19.2	19.1	2.0	-
NS13021	SPHN.27	NS13029	SPHN.27	16.2	16.2	0.8	-
NS13021	SPHN.27	NS13030	SPHN.27	10.0	10.0	0.2	-
NS13021	SPHN.22	NS13031	SPHN.22	6.6	4.1	5.2	-
NS13021	SPHN.16	NS13031	SPHN.16	6.8	6.0	3.2	-
NS13021	SPHN.23	NS13031	SPHN.23	3.2	1.3	2.9	-
NS13021	SPHN.22	NS13032	SPHN.22	11.5	9.5	6.5	-
NS13021	SPHN.27	NS13038	SPHN.27	14.1	14.1	0.2	-
NS13021	SPHN.22	NS13038	SPHN.22	12.3	12.1	2.3	-
NS13021	SPHN.27	NS13040	SPHN.27	14.5	14.5	0.6	-
NS13021	SPHN.22	NS13040	SPHN.22	13.7	13.4	3.0	-
NS13021	SPHN.27	NS13041	SPHN.27	9.4	9.4	0.2	-
NS13021	SPHN.22	NS13041	SPHN.22	15.6	15.4	2.3	-
NS13021	SPHN.22	NS13022	SPHN.22	7.4	7.4	0.4	-
NS13021	SPHN.16	NS13022	SPHN.16	4.3	3.9	1.9	-
NS13021	SPHN.24	NS13022	SPHN.24	7.0	6.9	1.5	-
NS13021	SPHN.23	NS13023	SPHN.23	10.1	10.0	1.5	-
NS13031	SPHN.22	NS13041	SPHN.22	18.5	18.3	2.8	-
NS13031	SPHN.22	NS13038	SPHN.22	16.1	15.8	2.9	-
NS13031	SPHN.24	NS13021	SPHN.24	13.1	12.8	3.0	-
NS13031	SPHN.22	NS13022	SPHN.22	6.1	3.8	4.8	-
NS13031	SPHN.24	NS13022	SPHN.24	7.6	6.1	4.5	-
NS13031	SPHN.16	NS13022	SPHN.16	10.8	9.6	5.0	-
NS13031	SPHN.23	NS13023	SPHN.23	11.3	11.2	1.3	-
NS13022	SPHN.23	NS13031	SPHN.23	8.0	5.2	6.1	-
NS13022	SPHN.22	NS13038	SPHN.22	18.1	18.0	1.9	-
NS13022	SPHN.23	NS13039	SPHN.23	7.7	5.8	5.1	-
NS13022	SPHN.23	NS13021	SPHN.23	5.2	4.1	3.2	-
NS13022	SPHN.23	NS13023	SPHN.23	7.6	6.0	4.8	-
NS13032	SPHN.39	NS13031	SPHN.39	17.4	17.3	1.8	-
NS13032	SPHN.22	NS13031	SPHN.22	12.7	12.6	1.3	-
NS13032	SPHN.22	NS13038	SPHN.22	6.6	5.0	4.2	-
NS13032	SPHN.22	NS13041	SPHN.22	7.2	5.9	4.1	-
NS13032	SPHN.41	NS13041	SPHN.41	10.9	10.9	1.1	-
NS13032	SPHN.22	NS13022	SPHN.22	15.2	14.0	6.1	-
NS13016	SPHN.15	NS13020	SPHN.15	4.4	4.0	2.0	-

NS13016	SPHN.15	NS13017	SPHN.15	8.2	7.9	2.3	-
---------	---------	---------	---------	-----	-----	-----	---

Inclinometer Mismatches

Cluster/Scan	Scan	Mismatch [deg]
NS13031	NS13031	0.0136
NS13011	NS13011	0.0118
NS13034	NS13034	0.0171
NS13036	NS13036	0.0194
NS13028	NS13028	0.0257
NS13006	NS13006	0.0294
NS13026	NS13026	0.0203
NS13030	NS13030	0.0110
NS13040	NS13040	0.0192
NS13039	NS13039	0.0154
NS13022	NS13022	0.0134
NS13019	NS13019	0.0086
NS13023	NS13023	0.0110
NS13038	NS13038	0.0203
NS13014	NS13014	0.0241
NS13018	NS13018	0.0068
NS13007	NS13007	0.0278
NS13017	NS13017	0.0035
NS13029	NS13029	0.0155
NS13015	NS13015	0.0266
NS13000	NS13000	0.0087
NS13021	NS13021	0.0200
NS13032	NS13032	0.0344
NS13003	NS13003	0.0353
NS13020	NS13020	0.0036
NS13037	NS13037	0.0150
NS13012	NS13012	0.0199
NS13002	NS13002	0.0158
NS13024	NS13024	0.0017
NS13016	NS13016	0.0129
NS13033	NS13033	0.0248
NS13041	NS13041	0.0201
NS13009	NS13009	0.0036
NS13025	NS13025	0.0233
NS13035	NS13035	0.0155
NS13005	NS13005	0.0221

NS13004	NS13004	0.0115
NS13013	NS13013	0.0459
NS13001	NS13001	0.0111
NS13010	NS13010	0.0120
NS13008	NS13008	0.0565